

Korozijska odpornost tračno navarjenih posod izdelanih iz drobnozrnatega mikrolegiranega jekla NIOMOL 490

Corrosion Resistance of Vessels Manufactured from Finegrained Microalloyed Steel NIOMOL 490 with Built-up Strips

B. Godec, J. Vojvodič-Gvardjančič, Inštitut za metalne konstrukcije, Ljubljana
L. Vehovar, Inštitut za kovinske materiale in tehnologije, Ljubljana

Izdelana je bila podnica $D/R/v/t = 1000/1000/100/12$ z rotacijskim vlečenjem po hladnem postopku iz mikrolegiranega finozrnatega jekla NIOMOL 490, nanj pa navarjen nerjavni trak INOX-TR 22/12/9. Raziskali smo korozijsko odpornost tako izdelane podnice s pomočjo korozijskih testov po ASTM in selektivnih elektrokemičnih korozijskih meritev, z namenom določiti korozijsko obstojnost navara v medijih procesne tehnike, prehrambene, papirne in kemične industrije. Določili smo vrsto korozije, ki se v dani situaciji lahko manifestira in nevarnost, ki jo ta predstavlja.

Ključne besede: tračno navarjanje, posoda, korozijska odpornost

Cold rotary drawing was applied to manufacture a bottom of the following dimensions: $D/R/v/t = 1000/1000/100/12$. Low-alloyed finegrained NIOMOL 490 steel was used as the base material. An INOX - TR 22/12/9 stainless steel strip was welded onto the bottom. Corrosive resistance of thus manufactured bottom was tested according to the ASTM corrosion tests, and with selective electrochemical corrosion measurements in order to find the corrosion of weld resistance in the media existing in the food in the paper and in the chemical industry. The type of corrosion was determined which could appear in a given situation and represent a danger for a possible failure.

Key words: built up-strips welding, vessel, corrosion resistance.

1. Uvod

Uporaba posebnih pločevin za izdelavo tlačnih posod, rezervoarjev in druge opreme za skladiščenje agresivnih medijev iz ekonomskega stališča ni vedno najboljša rešitev, saj za zaščito pred škodljivimi vplivi medija zadošča tanka plast tega materiala, nosilni del konstrukcije pa je smotrneje izdelati iz običajnih kvalitet jekla. Rešitev tega je lahko platirano jeklo, kjer osnovni material zagotavlja ustrezno nosilnost, plemeniti sloj pa ustrezno obstojnost v agresivnem mediju.

Raziskali smo možnost izdelave tračno navarjenih pločevin z uporabo mikrolegiranega jekla NIOMOL 490.

Preiskave smo vršili na podnici, ki predstavlja najbolj kritični del posode. Podnica je dimenzij $D/R/v/t = 1000/1000/100/12$ mm in izdelana z rotacijskim vlečenjem po hladnem postopku (slika 1). Podnica je izdelana iz jekla NIOMOL 490 debeline 12 mm, za tračno navarjanje pod prškom pa smo izbrali dodajni material domače proizvodnje in sicer nerjavni trak INOX-TR 22/12/9 in aglomerirani pršek OP 71 Cr Železarne Jesenice.

Iz dosedanjih preiskav smo ugotovili, da oblikovanje podnice na stroju za rotacijsko vlečenje po hladnem postopku

poslabša žilavost materiala. Meja plastičnosti in natezna trdnost sta se pri tem zvišali, čemur je vzrok utrjevanje materiala pri hladni deformaciji, ki je najbolj izraženo na skrajnem robu podnice in na prehodu območja malega radija v območje ravnega



Slika 1. Prikaz tračno navarjene podnice.
Figure 1. Appearance of bottom with a built-up strip.

priviha. Izkazalo se je tudi, da je pravilnejša tehnika dvo-varkovnega navarjanja, ker je pri enovarkovnem navaru struktura pod navarem neugodna. Zaradi vnosa toplote je velikost zrna prevelika, medtem ko termični vpliv drugega navara ugodno vpliva na strukturo v toplotno vplivnem področju¹.

Korozionska obstojnost podnice je vezana s korozionskimi lastnostmi navarjenega nerjavnega navara. Pod vplivom varjenja (vnos toplote) pride do določenih sprememb, kar lahko spremeni korozionsko obstojnost navara.

2. Namen raziskav

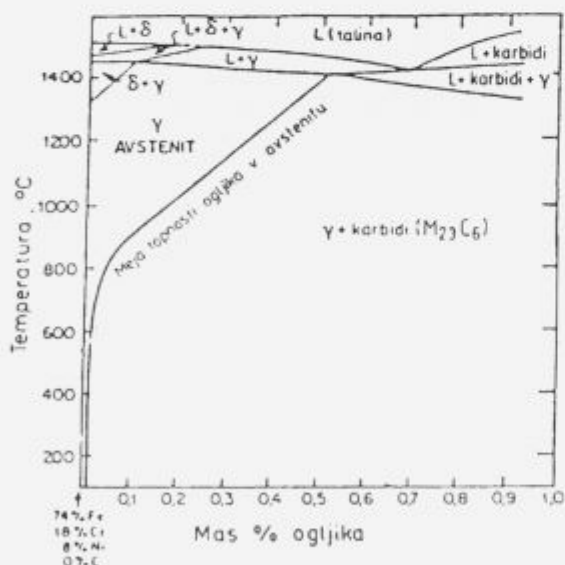
Ker se bodo posode uporabljale za skladiščenje različnih medijev, smo želeli ugotoviti korozionsko obstojnost navara v različnih medijih. Zanimalo nas je katera vrsta korozije se v dani situaciji lahko manifestira in kakšno nevarnost predstavlja. Želeli smo določiti lastnosti pasivnega filma, ki se tvori na nerjavnem jeklu in kakšne so njegove sposobnosti repasivacije pri poškodbah v določenih agresivnejših medijih.

3. Korozija in odpornost austenitnih nerjavnih jekel

Austenitna nerjavna jekla vsebujejo krom in nikelj, nekatere pa še molibden. To so nemagnetna jekla, ki jih ne moremo toplotno obdelati. S hladno predelavo postanejo rahlo magnetna. Tipični predstavnik teh jekel je kvaliteta Č.4580, ki vsebuje 18% Cr in 18% Ni².

Pri austenitnih nerjavnih jeklih lahko nastopi interkristalna korozija, ki jo povzročajo kromovi karbidi, izločeni po mejah austenitnih zrn in pa nastajanje δ ferita, ki je ravno tako s kromom bogata faza³.

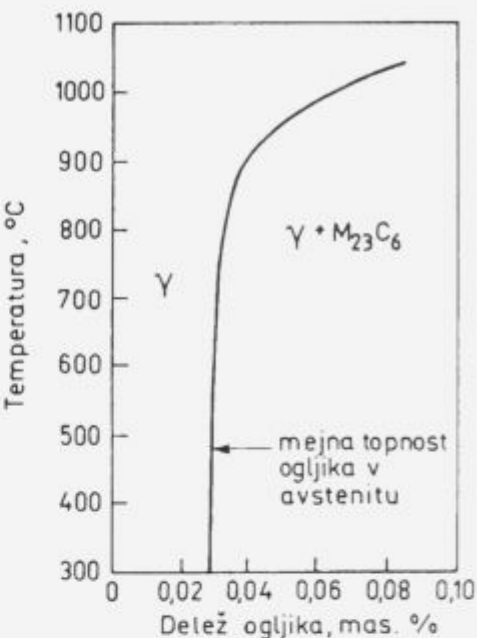
Družina karbidov po mejah austenitnih zrn pride pri počasnem ohlajanju v temperaturnem območju med približno 425 in 870°C. Topnost ogljika v 18-8 nerjavnem jeklu je prikazana na sliki 2³.



Slika 2. Binarni diagram za Fe-18%Cr-8%Ni zlitino z različnim deležem ogljika.

Figure 2. Binary diagram of Fe-18%Cr-8%Ni alloy with various carbon amounts.

Iz diagrama lahko povzamemo, da austenit raztoplja v odvisnosti od temperature le določeno količino ogljika. To je na diagramu prikazano s črto, ki je označena kot meja topnosti ogljika v austenitu. Z ohlajanjem iz višje temperature pa se ogljik izloča v obliki različnih karbidov M_2C_6 .



Slika 3. Topnost ogljika v austenitu pri različnih temperaturah in izločanje M_2C_6 karbidov.

Figure 3. Carbon solubility in austenite at various temperatures, and the precipitation of M_2C_6 .

Iz diagrama na sliki 3 je razvidno, da v primeru, ko je vsebnost ogljika več kot 0,03 % se bodo pri ohlajanju po črti topnosti izločali karbidi M_2C_6 . Ker je glavni karbidotvoren krom, so izločeni karbidi prvenstveno Cr_2C_6 . Kromovi karbidi izločeni po mejah zrn povzročajo oziroma načenje neposredne okolice s kromom in s tem so dani pogoj za interkristalno korozijo, oziroma napetostno interkristalno korozijo, če je material obremenjen.

Vpliv δ ferita

Ta faza je bogata s kromom. Predstavlja precejše težave pri predelavi v vročem, njena prisotnost pa znižuje korozionsko odpornost proti pitting koroziji. Če δ ferit izolira feritna zrna v duplex nerjavnih jeklih, potem znatno izboljša odpornost do napetostne korozije. Izločena v obliki neprekinjene mreže po mejah zrn pa povečuje občutljivost materiala na interkristalno korozijo. Zvari austenitnih nerjavnih jekel pa tudi litin vsebujejojo določeno količino δ ferita, kar je zahtljeno. V kloridnih raztopinah δ ferit znižuje občutljivost austenitnih nerjavnih jekel do napetostne korozije, kar zavira širjenje transkristalnih razpok po austenitnih zrnih⁴.

4. Eksperimentalni del

4.1. Kemična sestava navara

Tračno navarjanje je bilo izvedeno z nerjavnim trakom INOX TR 22/12/9 in aglomeriranim praškom OP 71 Cr Železarne Jesenice. Na velikem radiju je varjeno enovarkovno (C - navar enovarkovno), dočim je na malem radiju varjeno dvovarkovno (A - navar dvovarkovno zgoraj, B - navar dvovarkovno spodaj, s polovično širino traku).

Nerjavni trak in nerjavni navar imata po proizvajalčevih podatkih naslednjo sestavo in lastnosti:

Tabela 1. Kemična sestava in dimenzija traku

Kemična sestava traku	C	Si	Mn	Cr	Ni
INOX-TR 22/12/9 (%)	0,18	0,50	9,0	21,5	11,5
Dimenzija traku (mm)				60 x 50	

Tabela 2. Lastnosti navarov

	Višina (mm)		Širina (mm)		
Enoslojni navar	4,2		63		
Dvoslojni navar	8		65		
Kemična sestava navara (%)	C	Si	Mn	Cr	Ni
Enoslojni navar	0,18	1,0	5,5	16	8,5
Dvoslojni navar	0,18	1,0	6,5	19,5	9,5
Trdota navara	(HV 2/30)				
Enoslojni	160 HV				
Dvoslojni	169 HV				

Izvršena je bila kemična analiza navara na preiskovani podnici in sicer navar A. Analiza je dala naslednje rezultate:

Tabela 3. Kemična sestava čistega navara

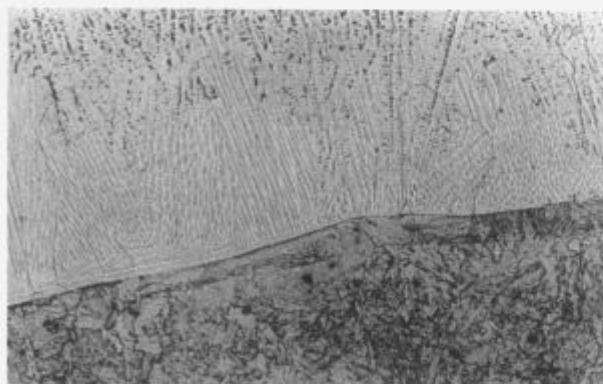
Kemična sestava (%)	C	Si	Mn	P	S	Cr	Ni
navara	0,21	1,28	5,55	0,028	0,008	21	11,89
	Mo	Cu	Nb	Ti	Co	Al	W
	0,12	0,10	0,028	0,007	0,042	0,009	0,047

Analiza kaže na nekoliko višjo vsebnost Cr in Ni in na nekoliko nižjo vsebnost Mn, kot jo predvideva proizvajalec. Vsebnost C je precej visoka. Nb in Ti ne delujejo kot stabilizatorja, ker se nahajata v premajhnih količinah.

4.2. Metalografska preiskava navara

4.2.1 Mikrostrukturne značilnosti dvoslojnega in enoslojnega navara

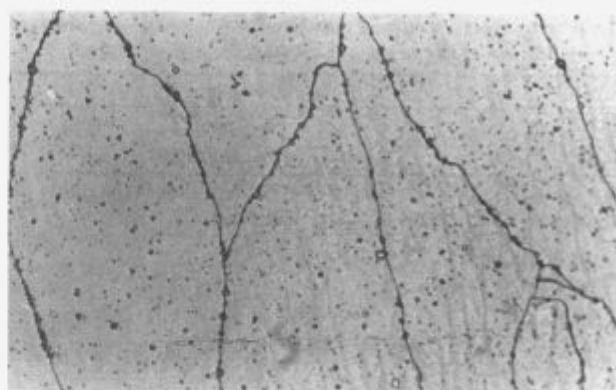
Na sliki 4 je prikazana mikrostruktura na prehodu med osnovnim materialom in nerjavnim navarom. Osnova je NIOMOL 490 s feritno bainitno mikrostrukturo v razmeroma široki topotno vplivani coni, v kateri se je izoblikovalo grobo zmo. V navaru se je izoblikovala transkristalna cona, kar je običajno za hitro odvajanje toplotne. V coni mešanja je manj izločenih karbidov, kar je posledica nižje vsebnosti ogljika (NIOMOL 490 ima od 0,05-0,10 % C) in kroma. V čistem zvaru (zgoraj) je austenit z izločenimi karbidi po mejah grobih transkristalov in v meddenitnih prostorih.



Slika 4. Mikrostruktura na prehodu med osnovnim materialom NIOMOL 490 in nerjavnim navarom B, pov. 100x.

Figure 4. Microstructure in the transition between the base NIOMOL 490 and built-up B, magn. 100x.

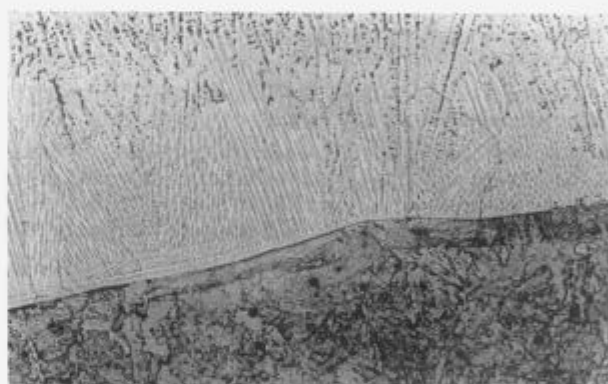
Po mejah transkristalov in v notranjosti so lepo vidni izločeni kromovi sekundarni karbidi (Cr_{23}C_6). V medprostorih transkristalov so še vidni ostanki dendritov (slika 5).



Slika 5. Mikrostruktura navara B z velikimi transkristali po mejah katerih so zvezno izločeni kromovi karbidi (zgoraj), pov. 200x.

Figure 5. Microstructure of built-up B with big fringe crystals on boundaries where chromium carbides are continuously precipitated (on top), magn. 200x.

Mikrostruktura zadnjega navara, ki je prikazana na sliki 6 in je sestavljena iz δ ferita, ki je izločen v dendritnih mejah in iz austenita v meddenitnih prostorih. δ ferit je ponekod razpadel v σ fazo.



Slika 6. Mikrostruktura navara A, v kateri zasledimo δ ferit, σ fazo in kromove karbide, pov. 200x.

Figure 6. Microstructure of built-up A where δ ferrite, σ phase, and chromium carbides were found, magn. 200x.

Številni karbidi, ki so izločeni po mejah transkristalov in v manjši meri v njihovi notranjosti, kromovi karbidi, δ ferit in σ faza, ki so bogati na krom, povzročajo osromašenje s Cr v njihovi bližini.

4.3. Korozjske raziskave

4.3.1 Odpornost proti pitting koroziji

Preiskavo odpornosti proti nastajanju pitting korozije smo izvedli v raztopini železovega klorida, po ASTM G48-76 in z elektrokemično metodo "ciklične polarizacije".

FeCl₃ test:

Odpornost proti nastajanju pitting korozije smo preiskali na dveh vzorcih dimenzije 50 x 25 x 4 mm, odvzetih iz navara n sicer:

Vzorec P-1 - C enoslojni navar

Vzorec P-2 - A dvoslojni navar zgoraj

Vzorca sta bila izpostavljeni 6 % raztopini FeCl₃, s temperaturo $22 \pm 2^\circ\text{C}$. Po 3 dnevni izpostavi je bila določena izguba teže različnih navarov, kar je podano v tabeli 4.

Tabela 4. Izguba teže po 72 urni izpostavi C-enoslojnega navara (P-1) in A-dvoslojnega navara zgornji (P-2)

Vzorec	izguba teže (g/m ²)
P-1	704,22
P-2	605,12

Izmerili in ocenili smo gostoto, velikost in globino pittov po standardnih kartah (ASTM G 46-76)⁹.

Vzorec P-1

GOSTOTA - A-5: Gostota pittov je $1,17 \cdot 10^7 / m^2$

VELIKOST - B-1: Povprečna velikost pittov je $0,0019 mm^2$

GLOBINA - C-1

Vzorec P-2

GOSTOTA - A-5: Gostota pittov je $1,08 \cdot 10^7 / m^2$

VELIKOST - B-1: Povprečna velikost pittov je $0,0019 mm^2$

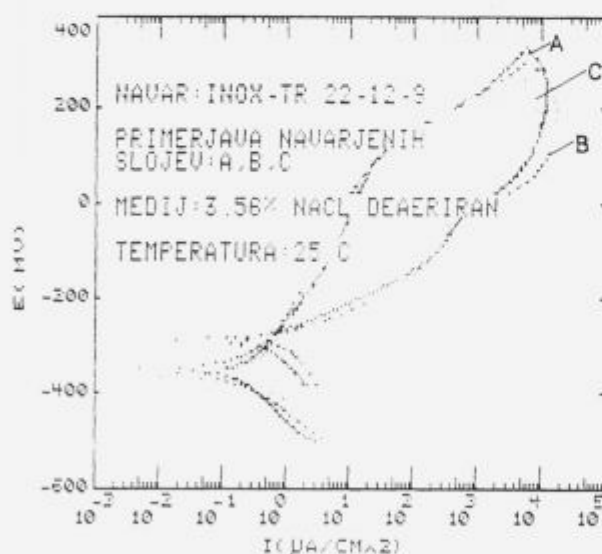
GLOBINA - C-1

Iz rezultatov v tabeli in vizuelnega pregleda stanja korodirane površine smo ugotovili, da navar ni odporen proti pitting koroziji v $FeCl_3$ raztopini. Pri podrobnejem opazovanju pod mikroskopom smo opazili, da se pitti pojavljajo v bližini mej zrn.

Ciklična potenciodinamična polarizacija je bila izvedena po ASTM G61-78 v 3,56 % NaCl pri 20°C. Kisik je bil odstranjen iz medija z 1 urnim prepihanjem z dušikom, pred polarizacijo pa je bil vzorec 1 ura odstavljen v tako deaeriranem mediju. Povratna polarizacija iz transpasivnega področja je bila izvedena na pri 5000 μA .

Preiskava je bila narejena za INOX-TR 22/12/9 in sicer za vse tri tipove navarov A, B in C (Slika 7).

Na osnovi diagrama ciklične potenciodinamične polarizacije, lahko sklepamo, da je jeklo neodporno proti nastajanju jamičaste korozije v kloridnih medijih. V pasivni v film so se vgrajevali Cl^- ioni, ki na ta način tudi povzročajo njegovo nehomogenost.



Slika 7. Določevanje odpornosti navara proti pitting koroziji z metodo ciklične polarizacije.

Figure 7. Determination of the build-up resistance to pitting corrosion by the method of cyclic polarization.

Iz primerjave ciklične polarizacije za različne navarjene sloje, vidimo, da so med posameznimi navari A, B in C zelo majhna odstopanja. Pri vseh pa se zanka zaključi nizko. Material je kljub visoki vsebnosti Cr (21 %) podvržen nastopanju pittinga, zaradi če omenjenega osiromašenja s kromom.

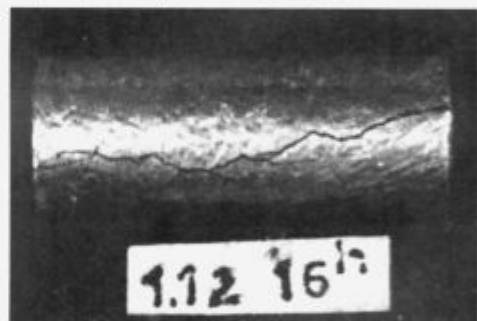
4.3.2 Odpornost proti napetostni koroziji

Odpornost proti napetostni koroziji smo določili v nasičeni raztopini $MgCl_2$, pri temperaturi 155°C, kot to zahteva ASTM G 36-87. Način vpenjanja in vnašanja napetosti v preizkušance v obliki črke U je definirano v ASTM G 30-7. Tako preiskovan material je odporen na napetostno pokanje, če se v 168 urah izpostave ne pojavijo razpoke^{7,8}.

Tabela 5. Rezultati preiskav testa za določanje odpornosti proti napetostni koroziji (U - bend test), za nerjavni navar INOX – TR 22/12/9

Vzorec št.	Čas potreben za nastanek prve razpoke (ure)
2,5	168
2,6	168
2,7	20
2,8	112
1,9	16
1,10	16
1,11	40
1,12	16

Primer izgleda vzorca, kjer se je po izpostavi v $MgCl_2$ pojavila razpoka po šestnajstih urah (Slika 8).



Slika 8. Vzorec 1.12 po izpostavi v $MgCl_2$.
Figure 8. Specimen 1.12 after the exposure to $MgCl_2$.



Slika 9. Napetostno korozjsko pokanje na vzorcu 1.10 ima interkristalni, mestoma tudi transkristalni karakter; pov. 50x.

Figure 9. Stress corrosion cracking in the 1.10 specimen has intercrysalline, locally also transcrysalline character; magn. 50x.

Nerjavni navar INOX-TR 22/12/9 je neodporen na napetostno korozijo v kloridnih medijih. Ker je zaradi vnosa topote pri varjenju prišlo do zveznega izločanja kromovih karbidov po mejah zrn, kakor tudi do nastanka grobih transkristalov, propagirajo razpoke prvenstveno po mejah zrn, kar je ponazorjeno na sliki 9. Če primerjamo enovarkovni zvar z dvovarkovnim vidimo nekoliko boljše napetostno korozjske lastnosti v prid slednjega. Treba pa je poudariti, da je v obeh varkih močno prisotna tendenca napetostno korozjskega pokanja.

4.3.3 Odpornost proti interkristalni koroziji

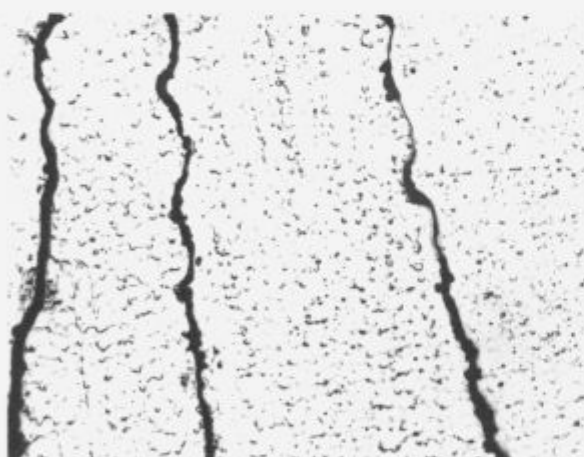
Meritve odpornosti proti interkristalni koroziji smo izpeljali po zahtevah standarda ASTM A262 postopek C (Huy-ev test). Preizkušanca dimenzijs 50 x 30 x 2 mm, vzeta iz dvovarkovne in enovarkovnega varja, tik pod površino, sta bila izpostavljena vreli 65 % dušikovi kislini (HNO_3) v času petih period po 48 ur. Z določitvijo izgube teže v tem času smo določili senzibilnost jekla na interkristalno korozijo (tabela 6).

Vzorec H-1 - navar A dvovarkovni zgoraj

Vzorec H-2 - navar C enovarkovni

Tabela 6. Izguba teže vzorcev jekla v HNO_3

Vzorec	H_1	H_2
Površina vzorca (cm^2)	33,0465	33,0693
Teža vzorca (g)	22,6235	21,9578
Hitrost korozije ($\text{g/m}^2\text{h}$) (izguba teže po 48 urnih period.)		
I. cikel	1,9997	3,7717
II. cikel	5,3214	8,2780
III. cikel	5,2426	
Povprečje	4,1879	6,02485



Slika 10. Slika mikrostrukture po končanem Huy-evem testu, pov. 100x.

Figure 10. Micrograph, after the Huy test, magn. 100x.

Izgube teže kažejo na to, da je material izredno neodporen na interkristalno korozijo.

4.3.4 Anodna polarizacija in Tafel

Elektrokemične korozjske raziskave so bile narejene na aparatu PAR-MODEL 342. V praksi bo tako narejena podnica v kontaktu z različnimi korozjskimi mediji, katerih sestava, stopnja disociacije, pH vrednost, temperatura ali hitrost gibanja bodo različne. S pridobljenimi podatki o korozjski odpornosti, obliki korozjskega napada ali morebitni pasivaciji pri udeležbi

le določenih korozjskih parametrov, bo možno ustvariti približno sliko o njeni uporabnosti.

Elektrokemične preiskave smo izvajali v sledečih medijih: 5 %, 30 %, 3 N H_2SO_4 (žveplena kislina) 5 %, 10 %, 30 % H_3PO_4 (fosforna kislina)

5 %, 10 % HCOOH (mravljinčna kislina)

5 %, 10 % CH_3COOH (acetna kislina)

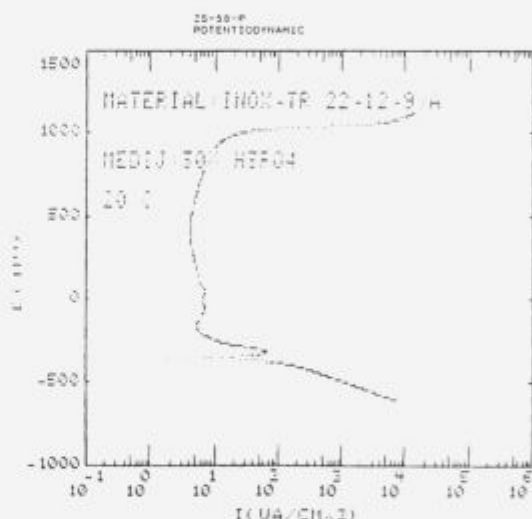
3,56 %, 5 % NaCl (natrijev klorid)

5 % NaOH (lug)

Poskusi so bili izvedeni do določenih koncentracij medijev, ki se v praksi najpogosteje pojavlja.

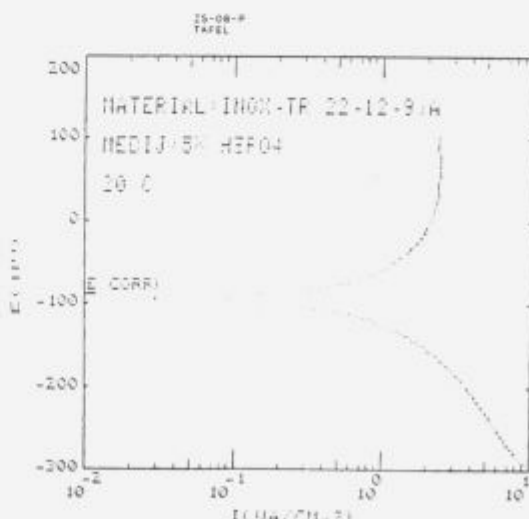
Fosforna kislina

Jeklo INOX-TR 22/12/9 se pri višjih koncentracijah fosforne kisline pasivira. V 5 % fosfornej kislini je pasivacija slabo izražena, vendar je hitrost korozije dobljena s Taflovim zapisom majhna (0,048 mm/leto). INOX-TR 22/12/9 kaže dobro korozjsko odpornost tudi v 30 % fosfornej kislini. Diagram anodne polarizacije in Taflov zapis v raztopini H_3PO_4 je prikazan na sliki 11 in 12.



Slika 11. Potenciodynamic anodic polarization INOX-TR 22/12/9 (A) jekla v 30 % H_3PO_4 .

Figure 11. Potentiodynamic anodic polarization of INOX-TR 22/12/9 (A) steel in 30 % H_3PO_4 .

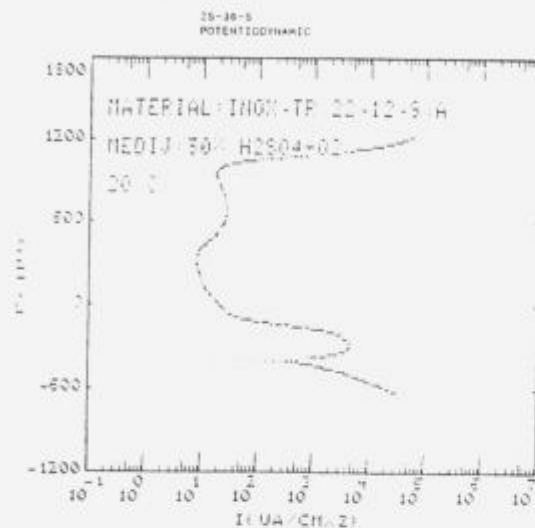


Slika 12. Tafel zapis INOX-TR 22/12/9 (A) jekla v 5 % H_3PO_4 .

Figure 12. Tafel record of INOX-TR 22/12/9 (A) steel in 5 % H_3PO_4 .

Žveplena kislina

Pri INOX-TR 22/12/9 v žvepleni kislini pasivacija nastopa, vendar je I_{corr} - korozijijski tok, ki je bil potreben za nastanek pasivnega filma izredno velik, kar povzroči nastanek debelih nehomogenih pasivnih filmov. Diagram anodne polarizacije je prikazan na sliki 13.

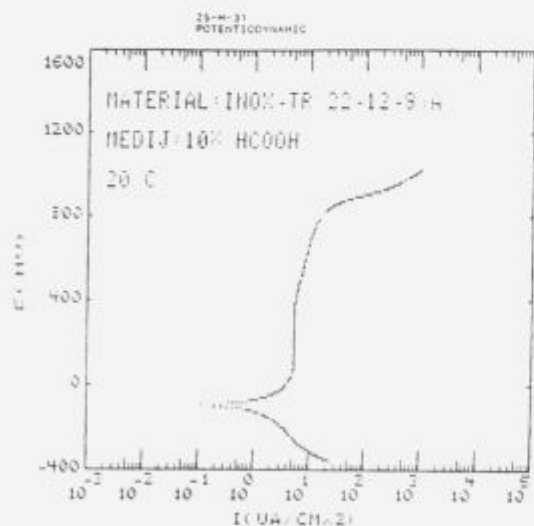


Slika 13. Potenciodinamična anodna polarizacija INOX-TR 22/12/9 (A) jekla v 30 % $\text{H}_2\text{SO}_4 + \text{O}_2$.

Figure 13. Potentiodynamic anodic polarization of INOX-TR 22/12/9 (A) steel in 30 % $\text{H}_2\text{SO}_4 + \text{O}_2$.

Mravljinčna kislina

Pri jeklu INOX-TR 22/12/9 ne zasledimo značilnega nosa, ki se tvori pri pasivnosti, vendar je korozijijski tok majhen, tudi pri večjih koncentracijah mravljinčne kisline. Pri jeklu INOX-TR 22/12/9 opazimo tendenco rahlega povečanja korozjske hitrosti z večanjem koncentracije mravljinčne kisline. Diagram anodne polarizacije je prikazan na sliki 14.



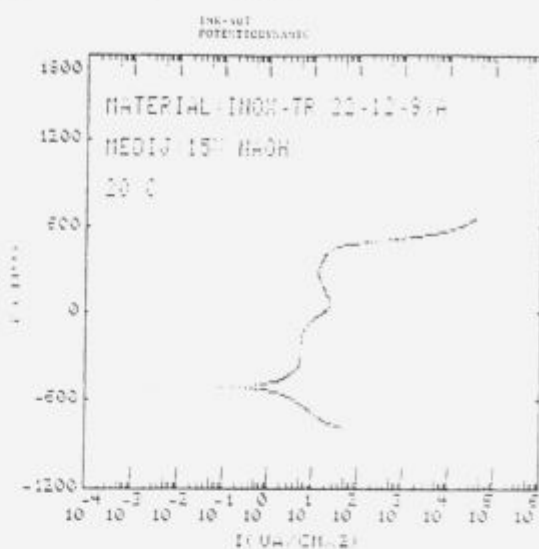
Slika 14. Potenciodinamična anodna polarizacija INOX-TR 22/12/9 (A) jekla v 10 % HCOOH .

Figure 14. Potentiodynamic anodic polarization of INOX-TR 22/12/9 (A) steel in 10 % HCOOH .

Lug

Anodne polarizacijske krivulje kažejo dobro možnost pasivacije in s tem visoko korozijijsko odpornost v lužnatih medijih.

Diagram anodne polarizacije je prikazan na sliki 15.

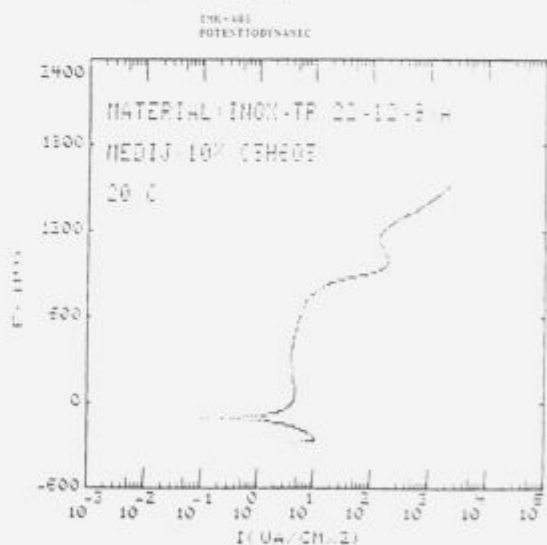


Slika 15. Potenciodinamična anodna polarizacija INOX-TR 22/12/9 (A) jekla v 15 % NaOH .

Figure 15. Potentiodynamic anodic polarization of INOX-TR 22/12/9 (A) steel in 15 % NaOH .

Mlečna kislina

Jeklo INOX TR 22/12/9 je dobro obstojno v mlečni kislini. Diagram anodne polarizacije je prikazan na sliki 16.



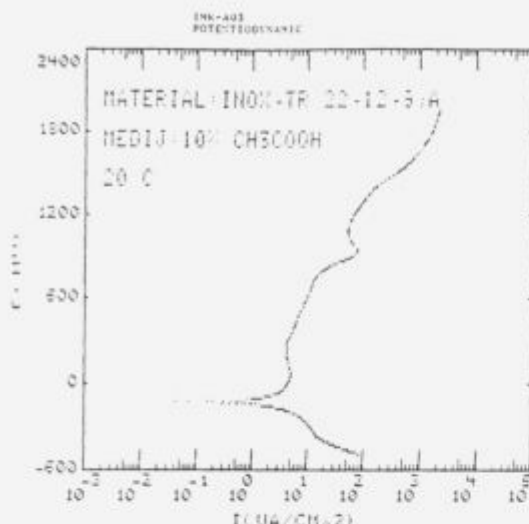
Slika 16. Potenciodinamična anodna polarizacija INOX-TR 22/12/9 (A) jekla v 10 % $\text{C}_2\text{H}_5\text{O}_2$.

Figure 16. Potentiodynamic anodic polarization of INOX-TR 22/12/9 (A) steel in 10 % $\text{C}_2\text{H}_5\text{O}_2$.

Oacetna kislina

Jeklo INOX TR 22/12/9 ima dovolj široko pasivno področje in majhen I_{corr} , tako da ga smatramo dobro obstojnega v tem mediju.

Vsa preiskana nerjavna jekla se v tem mediju pasivirajo. Pasivno področje za INOX-TR 22/12/9 je dovolj široko in tudi pasivni film je zadovoljiv v tem mediju. Diagram anodne polarizacije je prikazan v diagramu na sliki 17.

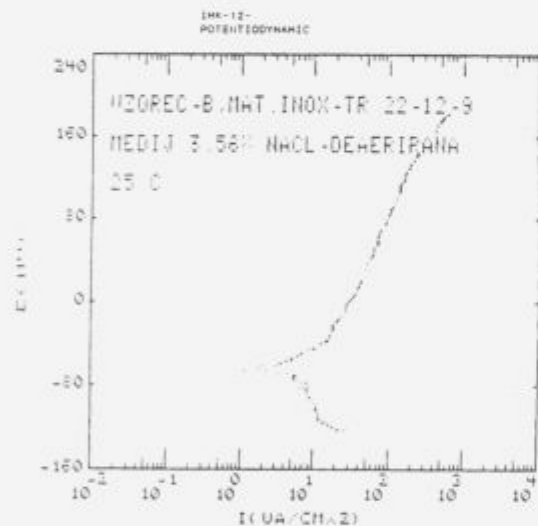


Slika 17. Potenciodinamična anodna polarizacija INOX-TR 22/12/9 (A) jekla v 10 % CH₃COOH.

Figure 17. Potentiodynamic anodic polarization of INOX-TR 22/12/9 (A) steel in 10 % CH₃COOH.

3,65 % NaCl

Pasivacija nikjer ne nastopa. Jeklo je podvrženo stalni koroziji. Vidimo, da večjih razlik med posameznimi sloji ni. Diagram anodne polarizacije in Taflov zapis je prikazan na sliki 18 in 19.



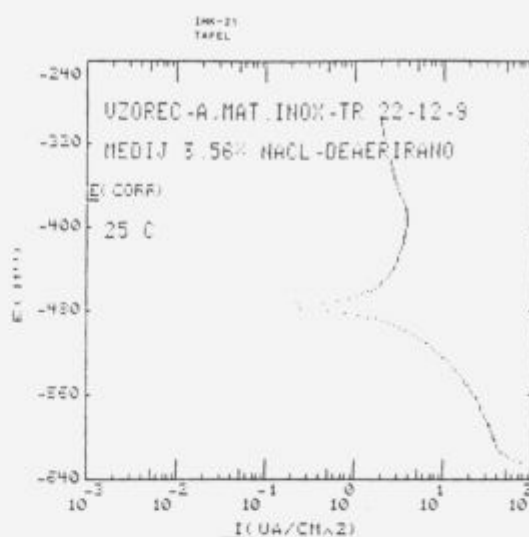
Slika 18. Potenciodinamična anodna polarizacija INOX-TR 22/12/9 (A) jekla v 3,65 % NaCl.

Figure 18. Potentiodynamic anodic polarization of INOX-TR 22/12/9 (A) steel in 3.65 % NaCl.

Večina materialov ni odporna v prisotnosti Cl⁻ ionov. INOX-TR 22/12/9 v tem mediju ni odporen. Čeprav na prvi pogled korozjske hitrosti niso zelo velike, pa bo v tem mediju prišlo pri tem jeklu do močne pitting korozije. Diagram anodne polarizacije je prikazan na sliki 20.

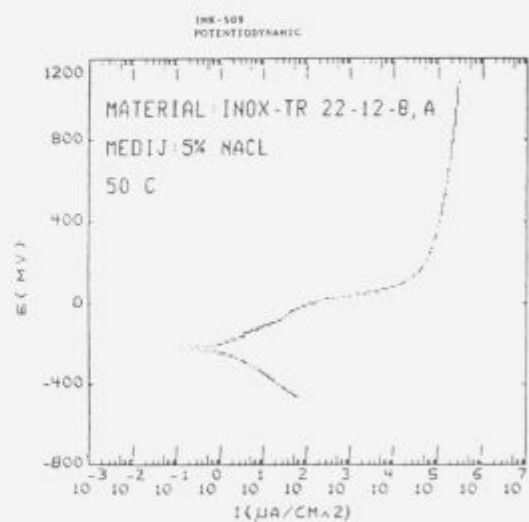
5. Diskusija rezultatov

Nerjavno jeklo INOX-TR 22/12/9, s katerim je bilo izvedeno navarjanje podnice ima visoko vsebnost kroma in kot tako je odporno na korozijo tudi v agresivnejših medijih. Nerjavni trak ima precej visok % C, ki ni stabiliziran. Proses varjenja je za-



Slika 19. Tafelov zapis INOX-TR 22/12/9 (A) jekla v 3,65 % NaCl.

Figure 19. Tafel record of INOX-TR 22/12/9 (A) steel in 3.65 % NaCl, 5 % NaCl, 25°C.



Slika 20. Potenciodinamična anodna polarizacija INOX-TR 22/12/9 (A) jekla v 5 % NaCl temp. 50°C.

Figure 20. Potentiodynamic anodic polarization of INOX-TR 22/12/9 (A) steel in 5 % NaCl temp. 50°C.

pustil v nerjavnom traku spremembo mikrostrukture. Prišlo je do pojava zveznega izločanja kromovih karbidov po mejah zrn in s tem do osiromašenja matrice s kromom. Tako predeli ob meji zrna vsebujejo prenizek Cr, ki bi še omogočal pasivacijo. Nastajajo tudi precejšnje potencialne razlike med osiromašeno cono in matrico, oziroma kristalnimi mejami, kjer so izločeni karbidi, bogati s kromom. Matrica kot tudi kristalna meja deluje kot katoda, neposredna s kromom osiromašena okolina pa je anodna.

Poleg tega smo zasledili veliko δ ferita, ki je razporejen precej neenakomerno. Ta faza je prav tako bogata na Cr.

Korozjske preiskave so pokazale, da ima jeklo sicer dobro splošno korozjsko odpornost v številnih medijih, da pa tako jeklo ni odporno na agresivnejše medije. Pri ciklični potenciodinamični polarizaciji in FeCl₃ testu se je izkazalo, da jeklo ni odporno na pitting korozijo. Popolnoma negativen pa je bil test na interkristalno korozijo v HNO₃, kjer se je pojavila močna interkristalna korozija. Prav tako se je izkazalo, da nerjavni trak ne nudi ustrezne odpornosti proti napetostni koroziji.

6. Zaključek

Takšen navar bo marsikje odporen, moramo pa se izogniti kloridnim in drugim agresivnejšim medijem.

Smiselneje bi bilo v prihodnje navarjati z austenitnim ne-rjavnim trakom, ki ima ne več, kot 0,08 % C in je stabiliziran s Ti ali Nb. V tem primeru do večine teh nevšečnosti ne bi prišlo.

Izkazalo se je, da je prav tako s stališča korozjske odpornosti bolj primerno dvovarkovno navarjanje, ki ima ugodnejšo kemično sestavo.

7. Literatura

- ¹ J. Vojvodić-Gvardjančić: Analiza karakteristik drobnozrmatega mikrolegiranega jekla NIOMOL 490 in študija lastnosti na tem jeklu z dodajnim materialom domače proizvodnje (Raziskovalna naloga: URP/RP 06-2685-218/87)
- ² Mars G. Fontana: Corrosion Engineering, Mc Graw-Hill Book Company, 1987, 181-186
- ³ L. Vehovar, Korozija kovin in korozisko preizkušanje, Monografija, samozaložba 1991
- ⁴ Corrosion, Volume 13, Metals Handbook Ninth Edition, 1987, 546-565
- ⁵ ASTM G48-76: Standard Test Methods for Pitting and Crevice Corrosion Resistance of Stainless Steel and Related Alloys by the use of Ferric Chloride Solution
- ⁶ ASTM A 262-75: Standard Recommended Practice for Examination and Evaluation of Pitting Corrosion
- ⁷ ASTM G36-87: Standard Practice for Evaluating Stress-Corrosion-Cracking of Metals and Alloys in a Boiling Magnesium Chloride Solution
- ⁸ ASTM G30-79: Standard practice for Making and Using U Band Stress-Corrosion Test Specimens
- ⁹ ASTM G46-76: Standard Recommendation Practice for Examination and Evaluation of Pitting Corrosion